

# 非觀血式連續血壓計 CNAP® Monitor

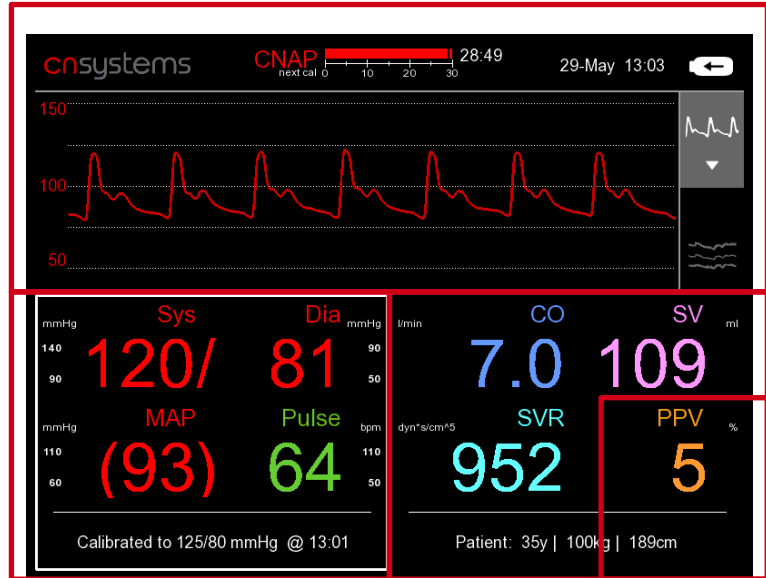


The next generation of noninvasive monitoring



# CNAP® technology 非観血連續血行動態管理

一画面に全てのパラメータを表示



連続血圧指標: Sys, Dia, MAP, Pulse  
上腕NBP: Sys, Dia

## PARAMETERS

### 血行動態指標

非観血式連續血圧波形／トレンド表示

心拍出量 CO, CI, SV, SI

全血管抵抗 SVR, SVRI

### 動的体液管理

PPV, SVV

デバイス	パラメータ	オプション
CNAP® Monitor at	Sys, Dia, Mean, Pulse	PPV
CNAP® Monitor HD	Sys, Dia, Mean, Pulse, CO, CI, SV, SI, SVR, SVRI	SVV

確かな精度と使いやすさ<sup>16,17</sup>

## THE NEXT GENERATION OF NONINVASIVE MONITORING



- 簡単な操作で使いやすい
  - ✓ 立ち上がりが早い<sup>15</sup>  
血圧波形や測定値を直ちに反映し、立ち上がりから10秒で波形を表示します。  
40秒で血圧値を表示、90秒で血行動態指標を表示できます。
  - ✓ センサ装着のセルフチェック機能  
CNAP®ダブルフィンガーカフが正しく装着されているかを自動で確認します。



- 確かな精度と信頼性
  - ✓ 動脈内測定と同等の精度を実現<sup>1-11,18</sup>
  - ✓ 正確な連続血圧測定により、不安定な血圧変動や目標指向型療法(GDT)に対応
  - ✓ 動脈ラインに非侵襲血行動態測定を加えることが可能
- リユーザブルカフを採用
  - ✓ リユーザブルのCNAP®ダブルフィンガーカフを使用



- カフの多様なサイズ展開
  - ✓ 上腕NBPカフ: 小児～大人用4種のサイズ展開
  - ✓ CNAP®ダブルフィンガーカフ: 大・中・小のサイズ展開





## 研究に適した設計

### EASY & RELIABLE TOOL FOR RESEARCH<sup>11,12,13,14</sup>

#### ● 測定時間

- ✓ 60分中58分間(97%)のシグナルを使用
- ✓ 校正を必要最低限にとどめ長時間安定した連続測定が可能

#### ● アナログ出力

- ✓ 校正した血圧波形、平均血圧、心拍出量、脈圧変動をアナログ信号として出力できます。

#### ● データ保存と解析

- ✓ USBでのデータ保存
- ✓ CSVファイル形式でのデータ保存:  
Matlab, MS Excel, SPSSなどのデータ解析ソフトウェアへのインポートが可能です。

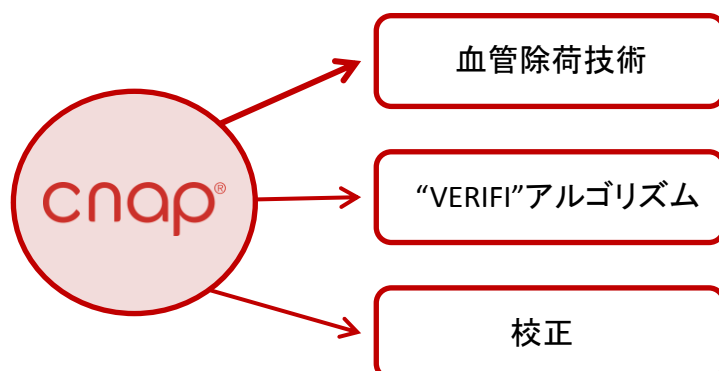
#### ● 適応分野

- ✓ 生理学、心理生理学、自律神経学、神経学、心臓学、心理学、スポーツ医学、薬理学



## 測定原理

### CNAP® Technology



#### ● CNAP®測定原理の基本

指カフのセンサで血液量の変化を検出し、プレチスマグラフィー信号を連続血圧信号に変換しています。カフの減圧・加圧により脈圧を制御し、指先での血流を一定に保っています。

#### ● 独自のアルゴリズム“VERIFI”

=Vasomotoric Elimination and Reconstructed IdentificAtion of the Initial setpoint  
動脈壁内の圧力変化による干渉を回避するためのアルゴリズム。

VERIFIアルゴリズムのフィルタリングにより、アーチファクトを除去し脈波からbeat-to-beatで正確に血圧情報を再構築します。

#### ● 上腕カフでの校正により絶対値を表示

内部自動校正や外部マニュアル校正など様々な設定が可能です。

1 Jeleazcov, C. et. al. Precision and accuracy of a new device (CNAP®) for continuous noninvasive arterial blood pressure monitoring: assessment during general anaesthesia. BJA.105(3):264-272 (2010).

2 Ilies, C., Investigation of the agreement of a continuous non-invasive arterial pressure device in comparison with invasive radial artery measurement. BJA. 108(2):202-10. doi: 10.1093/bja/aer394 (2012).

3 Blais, M. et. al. Continuous non-invasive arterial pressure measurement: Evaluation of CNAP™ device during vascular surgery. Ann Fr Anesth Reanim, doi:10.1016/j.anf. 2010.05.002 (2010)

4 Jagadeesh, AM., A comparison of a continuous noninvasive arterial pressure (CNAPTM) monitor with an invasive arterial blood pressure monitor in the cardiac surgical ICU. Ann Card Anaesth. Jul-Sep;15(3):180-4. doi: 10.4103/09719784.97973 (2012).

5 Ilies, C. et al. Comparison of a continuous noninvasive arterial pressure device with invasive measurements in cardiovascular postsurgical intensive care patients: A prospective observational study. European Journal of Anaesthesiology, 31, 1–9. doi:10.1097/EJA.00000000000001366 (2014).

6 Wagner, J. Y. et al. Noninvasive continuous versus intermittent arterial pressure monitoring: evaluation of the vascular unloading technique (CNAP device) in the emergency department. Scandinavian Journal of Trauma, Resuscitation and Emergency Medicine, 22(1), 8. doi:10.1186/1757-7241-22-8 (2014).

7 Wagner, J. Y. et al. Continuous noninvasive arterial pressure measurement using the volume clamp method : an evaluation of the CNAP device in intensive care unit patients. J Clin Monit Comput, online. doi:10.1007/s10877-015-9670-2 (2015).

8 Kumar, A., et al. Evaluation of continuous non - invasive arterial pressure monitoring during induction of general anaesthesia in patients undergoing cardiac surgery. Indian J Anaesth, 59(1), 21–25. doi:10.4103/0019-5049.149444 (2015).

9 Kako, H. et al. Accuracy of the CNAP monitor, a noninvasive continuous blood pressure device, in providing beat-to-beat blood pressure readings in pediatric patients weighing 20-40 kilograms. Paediatric Anaesthesia, 1–5. doi:10.1111/pan.12173 (2013).

10 Dewhurst, E. et al. Accuracy of the CNAP monitor, a noninvasive continuous blood pressure device, in providing beat-to-beat blood pressure readings in the prone position. Journal of Clinical Anesthesia, 1–4. doi:10.1016/j.jclinane.2013.01.01 (2013).

11 Gonzales, J. U. et al. Arterial stiffness is higher in older adults with increased perceived fatigue and fatigability during walking. Experimental Gerontology.

doi:10.1016/j.exger.2014.12.005 (2014).

12 Lee JF, et al. The magnitude of heat-stress induced reductions in cerebral perfusion does not predict heat-stress induced reductions in tolerance to a simulated hemorrhage. Journal of Applied Physiology, 114(1), 37–44. (2013).

13 Sng, B. L. et al. Closed-loop double-vasopressor automated system vs manual bolus vasopressor to treat hypotension during spinal anaesthesia for caesarean section: a randomised controlled trial. Anaesthesia, 1–9. doi:10.1111/anae.12460 (2013).

14 Cornick, J. E. et al. Consequences of objective self-awareness during exercise. Health Psychology Open, 2(2), 2055102915598088. doi:10.1177/2055102915598088 (2015).

15 Benes, J., et al. Continuous non-invasive monitoring improves blood pressure stability in upright position: randomized controlled trial. Journal of Clinical Monitoring and Computing.

doi:10.1007/s10877-014-9586-2 (2014).

16 Ilies, C. et al. Detection of hypotension during Caesarean section with continuous non-invasive arterial pressure device or intermittent oscillometric arterial pressure measurement. British Journal of Anaesthesia, 3–9. doi:10.1093/bja/ae224 (2012).

17 Siebig, J. et al. Continuous non-invasive arterial pressure technique improves patient monitoring during interventional endoscopy. International Journal of Medical Sciences, 6(1), 37–42.

Retrieved from <http://www.pubmedcentral.nih.gov/articlerender.fcgi?artid=2631161&tool=pmcentrez&rendertype=abstract> (2009).

18 Wagner, J. Y. et al. Continuous noninvasive cardiac output determination using the CNAP system: evaluation of a cardiac output algorithm for the analysis of volume clamp method-derived pulse contour. Journal of Clinical Monitoring and Computing.

doi:10.1007/s10877-015-9744-1 (2015).

# 仕様

## TECHNICAL SPECIFICATIONS

CNAP®—非観血連続動脈圧測定		NBP—オシロメトリック式血圧測定				
測定範囲	Sys:	40–250mmHg	測定範囲	Sys:	成人 40–260mmHg 小児 40–230mmHg	
	Dia:	30–210mmHg		Dia:	成人 20–200mmHg 小児 20–160mmHg	
	Mean:	35–230mmHg				
	Pulse rate:	30–200bpm				
保護	BF(defibrillation proof)		保護	BF(defibrillation proof)		
上腕動脈圧自動校正(NBP)						
CNAP®血行動態: CO,CI,SV,SVR,SVI,SVRI						
測定範囲	CO	0,0–99,9 l/min	SVI	0–500 ml/m <sup>2</sup>		
	CI	0,0–99,9 l/min/m <sup>2</sup>	SVR	0–9999 dyne*s/cm <sup>5</sup>		
	SV	0–500 ml	SVRI	0–9999 dyne*s/cm <sup>5</sup> /m <sup>2</sup>		
輸液反応性: CNAP® PPV, SVV						
測定範囲	PPV	0–40%	SVV	0–40%		
電源						
公称電圧	100–240 VAC		バッテリ	密閉型ゲルバッテリ 使用時間:2時間(完全充電)		
供給周波数	~50/60 Hz					
本体寸法・質量						
寸法	280 × 270 × 250mm		質量	7.5Kg 付属品・ケーブル含む		
環境条件						
温度	動作時: 10°C–40°C		保管時: 0°C–40°C			
湿度	動作時: 15%–85% 非結露		保管時: 15%–95% 非結露、包装			
気圧	動作時: 647–1060 hPa		保管時: 500–1060 hPa			
画面						
TFT-LCD 800 × 600 pixel						
8.4インチ						
ユーザーインターフェース						
操作	クリックホイール、ファストアクセスキー					
インジケーター	視覚的・聴覚的警報指示、バッテリー残量、プリント情報、電源LED					
トレンド表示	設定カスタマイズ: 数字・グラフ・アラーム履歴					
調整可能な警報システム						
生理的警報	優先度 中	技術的警報	優先度 低			
接続						
BP Wave Out	患者モニタに接続可能 (供給電圧2–10 VDC)					
AUX Analog Output (オプション)	校正後連続血圧波形のアナログ出力 (-5V to 5V)					
USBポート						
USB 1.1 バンド幅12 MBits/s						
プリンタ						
感熱紙 58mm						
準拠・承認						
Safety Class II (IEC60601)	IEC60601-1	IEC60601-1-6	EN1060-4(NBP)			
Class2b(93/42/EEC)	IEC60601-1-2	IEC60601-1-8	ISO81060-2(NBP)			
患者装着部BFタイプ	defibrillation proof	IEC80601-2-30				
知的所有権						
特許	US6,669,648		US2011/0105918			
	EP1 179 991		EP1 675 507			
	US7,390,301		US8,343,062			
	EP1 608 261		EU2493370			

※本カタログの記載内容は2016年5月のものです。本内容は予告なく変更することがあります。Version No.05/2016, V2.0, JAP

製造元  
オーストリア CNSystems 社



正規販売店  
イーストメディック株式会社

〒920-0062 石川県金沢市割出町702番2  
TEL: 076-239-4761 FAX: 076-239-1771  
E-mail: [info@east-medic.jp](mailto:info@east-medic.jp)  
URL: <http://www.east-medic.jp/>

**EMC**  
East Medic Corporation